

УДК 519.6

А.Громик

Подільський державний аграрно-технічний університет

МАТЕМАТИЧНЕ МОДЕЛЮВАННЯ НЕСТАЦІОНАРНОГО ТЕПЛОПЕРЕНОСУ В ПРОЦЕСАХ ВИПІКАННЯ ТОНКИХ ПЛОСКИХ ТІСТОВИХ ЗАГОТОВОК

Резюме. Розглянуто математичну модель нестационарного теплопереносу в процесах випікання тонких плоских тістових заготовок. Проведено числове моделювання і аналіз нестационарних температурних полів для нагрівальної плити й заготовки з точки зору забезпечення більшої рівномірності нагрівання за різними напрямками з урахуванням частотних характеристик нагрівання.

Ключові слова: теплоперенос, інтеграл Лапласа, перетворення Фур'є, температурні поля.

A.Gromyk

MATHEMATICAL MODELING OF NON-STATIONARY HEAT TRANSFER FOR BAKING PROCESS OF THIN FLAT PASTRY BLANKS

The summary. Mathematical model of non-stationary heat transfer for baking processes of thin flat pastry blanks are considered. Numerical modeling and analyze of non-stationary temperature fields for hot plane and blank are conducted with taking into account condition of regular heating for different directions and heating frequencies characteristics.

Key words: heat transfer, Laplace's integral, Fourier transformations, temperature fields

Процеси переносу тепла є одним із основних розділів сучасної науки і, крім атомної енергетики та космічної техніки, мають велике значення в станційній та промисловій енергетиці, радіотехніці, електроніці, зварювальному виробництві, при розрахунку конструктивних елементів машин, нагрівальних пристроїв, інженерних споруд, у технологічних процесах будівельної, легкої та інших галузей промисловості.

Дослідженню загальних питань теорії теплопровідності присвячено багато наукових праць [1-6]. У меншій мірі можна вважати закінченими й систематизованими результати досліджень термопружного стану тонких пластин [2, 3], які широко застосовуються в сучасній техніці. Але в усіх цих працях вивчається вплив на термопружний стан тонкої пластини одного з факторів (дія зосередженого чи рухомого теплового джерела, теплообмін через бічну поверхню, тепловий режим на межі й т. д.), а в роботі [3] на перший план поставлено виведення термомеханічних рівнянь і крайових умов для ізотропних та анізотропних пластин з урахуванням залежності фізико-механічних характеристик матеріалу від температури.

Фізична постановка задачі. Розглянемо процес нестационарного теплопереносу при випіканні тонкої плоскої заготовки товщиною δ_1 в електричній печі, схематизація якого зображено на рис. 1.

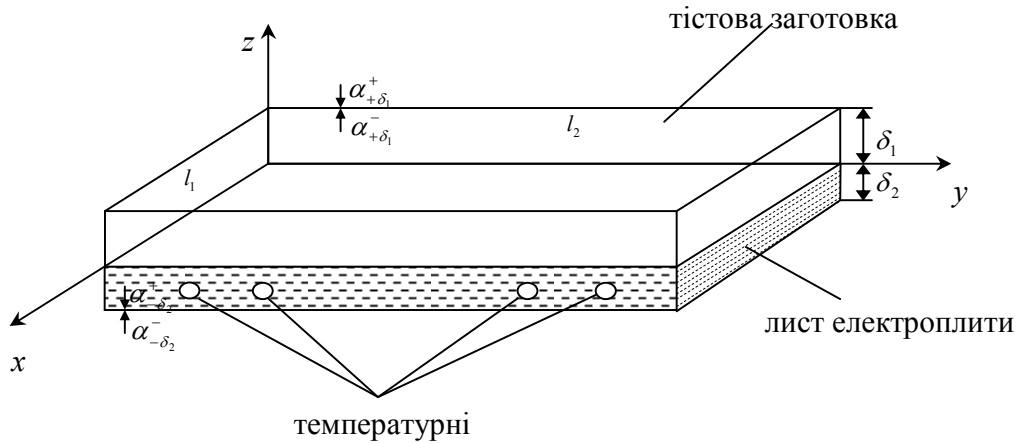


Рис. 1. Схематизація робочої області теплопереносу при випіканні тонкої плоскої тістової заготовки в електропечі

Тістова заготовка знаходиться на електричній плиті товщиною δ_2 , яка рівномірно нагріває заготовку до встановленої температури T_f через систему неперервно розподілених джерел температури листа електроплити. При цьому справедливі припущення, що робоча область є добре ізольована, тобто відсутній теплообмін через бічні поверхні.

Математичний опис проблеми. Температурний баланс нестационарного теплопереносу при випіканні тонких тістових заготовок можна описати за допомогою мішаної (початково-крайової) задачі: побудувати в області $D_2^n = \{(t, x, y) : t > 0, 0 < x < l_1, 0 < y < l_2\}$ обмежений розв'язок системи диференціальних рівнянь із частинними похідними параболічного типу [7]

$$\begin{cases} \frac{\partial}{\partial t} T_1(t, x, y) - a_1 \left(\frac{\partial^2}{\partial x^2} + \frac{\partial^2}{\partial y^2} \right) T_1(t, x, y) + \frac{\alpha_-}{C_2} T_2(t, x, y) = 0, \\ \frac{\partial}{\partial t} T_2(t, x, y) - a_2 \left(\frac{\partial^2}{\partial x^2} + \frac{\partial^2}{\partial y^2} \right) T_2(t, x, y) + \frac{3\alpha_-}{C_2} \left(\alpha_- + \frac{4}{r_z} \right) T_2(t, x, y) + \frac{3\alpha_-}{C_1} T_1(t, x, y) = a_2 \cdot F_2(t, x, y) \end{cases} \quad (1)$$

з початковими умовами

$$T_1(t, x, y)|_{t=0} = T_{1_0}(x, y); \quad T_2(t, x, y)|_{t=0} = T_{2_0}(x, y) \quad (2)$$

та крайовими умовами

$$\left. \frac{\partial T_i}{\partial \xi_j} \right|_{\xi_j=0} = 0; \quad \left. \frac{\partial T_i}{\partial \xi_j} \right|_{\xi_j=l_j} = 0; \quad i, j = \overline{1, 2} \quad \xi_j = \begin{cases} x, & j = 1 \\ y, & j = 2 \end{cases} \quad (3)$$

де

$T_1(x, y)$ – температурний розподіл у плоскій тістовій заготовці;

$T_2(x, y)$ – температурний розподіл в листі плити;

$a_i = \frac{\lambda_i}{C_i} = \frac{\lambda_i \delta_i}{C_i} = \frac{\Lambda_i}{C_i} \quad (i = \overline{1, 2})$ – коефіцієнти температурної провідності;

C_i – теплоємності шарів;

$F_{\text{a}}(t, x, y) = \theta_0 + f_2(t, x, y)$ – розподіл джерела нагрівання в електроплиті;

θ_0 – стала складова значення температури джерела нагрівання;

$f_2(t, x, y)$ – коливальна складова джерел.

Запишемо вихідну систему диференціальних рівнянь (1) - (2) у вигляді

$$\begin{cases} \left(\frac{\partial^2}{\partial x^2} + \frac{\partial^2}{\partial y^2} \right) \cdot T_1(t, x, y) - \alpha_- \cdot \frac{1}{\Lambda_1} \cdot \frac{C_1}{C_2} \cdot T_2(t, x, y) = \frac{C_1}{\Lambda_1} \cdot \frac{\partial}{\partial t} T_1(t, x, y), \\ \left(\frac{\partial^2}{\partial x^2} + \frac{\partial^2}{\partial y^2} \right) \cdot T_2(t, x, y) - \frac{12}{\delta_2^2} \cdot T_2(t, x, y) - 3\alpha_- \cdot \frac{1}{\Lambda_2} \cdot \frac{C_2}{C_1} T_1(t, x, y) = \frac{C_2}{\Lambda_2} \cdot \frac{\partial T_2}{\partial t} - F_{\text{a}}(t, x, y). \end{cases} \quad (4)$$

Ввівши позначення

$$\Gamma_1 = \alpha_- \cdot \frac{1}{\lambda_1} \cdot \frac{C_1}{C_2}; \quad \Gamma_2 = \frac{12}{\delta_2^2}; \quad \Gamma_3 = 3\alpha_- \cdot \frac{1}{\Lambda_2} \cdot \frac{C_2}{C_1}; \quad b_1 = \frac{C_1}{\Lambda_2}; \quad b_2 = \frac{C_2}{\Lambda_2},$$

систему (4) запишемо у вигляді

$$\begin{cases} \left(\frac{\partial^2}{\partial x^2} + \frac{\partial^2}{\partial y^2} \right) \cdot T_1(t, x, y) - b_1 \frac{\partial}{\partial t} T_1(t, x, y) - \Gamma_1 \cdot T_2(t, x, y) = 0, \\ \left(\frac{\partial^2}{\partial x^2} + \frac{\partial^2}{\partial y^2} \right) \cdot T_2(t, x, y) - b_2 \frac{\partial}{\partial t} T_2(t, x, y) - \Gamma_2 \cdot T_2(t, x, y) - \Gamma_3 \cdot T_1(t, x, y) = -F_{\text{a}}(t, x, y). \end{cases} \quad (5)$$

Застосувавши до задачі (5), (2), (3) за змінними x та y скінченні інтегральні косинус-перетворення Фур'є [2]

$$F_c [T_i(x_j)] = \int_0^{l_j} T_i(x_j) \cos \frac{n\pi}{l_j} x_j dx_j = T_{i_n}, \quad F_c^{-1} [T_i(x_j)] = \frac{1}{l_j} \sum_{n=0}^{\infty} \varepsilon_{j_n} T_{i_n} \cos \frac{n\pi}{l_j} x_j \equiv T_i(x_j)$$

$$F_c \left[\frac{\partial^2}{\partial^2 x_j} T_i(x_j) \right] = -\beta_{j_n}^2 \cdot T_{i_n}, \quad \beta_{j_n} = \frac{n\pi}{l_j}, \quad V_{j_n}(x) = \cos \beta_{j_n} x, \quad \|V_{j_n}\|^2 = \frac{l_j}{2}, \quad \varepsilon_{j_n} = \begin{cases} 1, & n=0 \\ 2, & n=1, \infty \end{cases}; \quad i, j = \overline{1, 2},$$

отримаємо задачу Коші

$$(\beta_{1_n}^2 + \beta_{2_m}^2) \cdot T_{1_{n,m}} + b_1 \frac{dT_{1_{n,m}}}{dt} + \Gamma_1 \cdot T_{2_{n,m}} = 0, \quad (6)$$

$$\Gamma_3 \cdot T_{1_{n,m}} + [\Gamma_2 + (\beta_{1_n}^2 + \beta_{2_m}^2)] \cdot T_{2_{n,m}} + b_2 \frac{dT_{1_{n,m}}}{dt} = F_{\text{a}_{n,m}}, \quad (7)$$

$$T_{1_{n,m}} \Big|_{t=0} = T_{1_{0,n,m}}; \quad T_{2_{n,m}} \Big|_{t=0} = T_{2_{0,n,m}}. \quad (8)$$

Застосувавши до задачі Коші (6)-(8) інтегральне перетворення Лапласа за часовою змінною t , отримаємо алгебраїчну систему рівнянь

$$\begin{cases} [p + a_{1_{n,m}}] T_{1_{n,m}}^* + \text{P}_1^{\%} \cdot T_{2_{n,m}}^* = T_{1_{0,n,m}} \\ \text{P}_3^{\%} \cdot T_{1_{n,m}}^* + [p + a_{2_{n,m}}] \cdot T_{2_{n,m}}^* = T_{2_{0,n,m}} + \frac{1}{b_2} F_{2_{n,m}}^* \end{cases}, \quad (9)$$

де

$$a_{1_{n,m}} = \frac{1}{b_1} (\beta_{1_n}^2 + \beta_{2_m}^2), \quad a_{2_{n,m}} = \frac{1}{b_2} (\Gamma_2 + \beta_{1_n}^2 + \beta_{2_m}^2), \quad \text{P}_1^{\%} = \frac{\Gamma_1}{b_1}, \quad \text{P}_3^{\%} = \frac{\Gamma_3}{b_2}.$$

У припущенні, що визначник системи (9)

$$\Delta^*(p) = p^2 + (a_{1_{n,m}} + a_{2_{n,m}}) p + a_{1_{n,m}} a_{2_{n,m}} - \text{P}_1^{\%} \cdot \text{P}_3^{\%} \neq 0, \quad (10)$$

знаходимо її єдиний розв'язок [8]

$$T_1^*(p) = \frac{\begin{vmatrix} T_{1_{0,n,m}} & \rho_1^0 \\ \frac{1}{b_2} F_{2_{n,m}}^* + T_{2_{0,n,m}} & p + a_{2,n,m} \end{vmatrix}}{\Delta^*(p)} = \frac{p + a_{2,n,m}}{\Delta^*(p)} T_{1_{0,n,m}} - \frac{\rho_1^0}{\Delta^*(p)} T_{1_{0,n,m}} - \frac{\rho_1^0}{\Delta^*(p)} \frac{1}{b_2} F_{2_{n,m}}^* \quad (11)$$

$$T_a^*(p) = \frac{\begin{vmatrix} p + a_{1,n,m} & T_{1_{0,n,m}} \\ \rho_3^0 & \frac{1}{b_2} F_{2_{n,m}}^* + T_{2_{0,n,m}} \end{vmatrix}}{\Delta^*(p)} = -\frac{\rho_3^0}{\Delta^*(p)} T_{1_{0,n,m}} + \frac{p + a_{1,n,m}}{\Delta^*(p)} T_{2_{0,n,m}} + \frac{p + a_{1,n,m}}{\Delta^*(p)} \frac{1}{b_2} F_{2_{n,m}}^* \quad (12)$$

або

$$T_1^*(p) = K_{11}^*(p) \cdot T_{1_{0,n,m}} + K_{12}^*(p) \cdot \left[T_{2_{0,n,m}} + \frac{1}{b_2} F_{2_{n,m}}^*(p) \right]; \quad (13)$$

$$T_2^*(p) = K_{21}^*(p) \cdot T_{1_{0,n,m}} + K_{22}^*(p) \cdot \left[T_{2_{0,n,m}} + \frac{1}{b_2} F_{2_{n,m}}^*(p) \right]. \quad (14)$$

Тут елементи фундаментальної матриці Коші $K^*(p) = [K_{ij}^*(p)]_{i,j=1,2}$ мають вигляд

$$K_{11}^*(p) = -\frac{p + a_{2,n,m}}{\Delta^*(p)}; \quad K_{12}^*(p) = -\frac{\rho_1^0}{\Delta^*(p)}; \quad K_{21}^*(p) = -\frac{\rho_3^0}{\Delta^*(p)}; \quad K_{22}^*(p) = \frac{p + a_{1,n,m}}{\Delta^*(p)}. \quad (15)$$

Здійснивши перехід до оригіналів, отримаємо

$$K_{i,i}(t) = L^{-1} \left[\frac{p - a_{s,n,m}}{(p - p_1)(p - p_2)} \right] = \frac{p_1 - a_{s,n,m}}{p_1 - p_2} L^{-1} \left[\frac{1}{p - p_1} \right] - \frac{p_2 - a_{s,n,m}}{p_1 - p_2} L^{-1} \left[\frac{1}{p - p_1} \right] = \\ = \frac{p_1 - a_{s,n,m}}{p_1 - p_2} e^{p_1 t} - \frac{p_2 - a_{s,n,m}}{p_1 - p_2} e^{p_2 t} = \frac{1}{(p_1 - p_2)} \left((p_1 - a_{s,n,m}) e^{p_1 t} - (p_2 - a_{s,n,m}) e^{p_2 t} \right); \quad i=1,2; s = \begin{cases} 1, & i=2 \\ 2, & i=1. \end{cases} \quad (16)$$

Оскільки

$$L^{-1} \left[\frac{1}{\Delta^*(p)} \right] = L^{-1} \left[\frac{1}{(p - p_1)(p - p_2)} \right] = -\frac{1}{(p_1 - p_2)} (e^{p_1 t} - e^{p_2 t}),$$

то

$$K_{1,2}(t) = -\frac{\rho_1^0}{p_1 - p_2} [e^{p_1 t} - e^{p_2 t}]; \quad K_{2,1}(t) = -\frac{\rho_3^0}{p_1 - p_2} [e^{p_1 t} - e^{p_2 t}]; \quad (17)$$

де

$$p_{1,2} = -\frac{a_{1,n,m} + a_{2,n,m}}{2} \pm \frac{1}{2} \sqrt{(a_{1,n,m} + a_{2,n,m})^2 - 4(a_{1,n,m} a_{2,n,m} - \rho_1^0 \rho_3^0)} = -\frac{a_{1,n,m} + a_{2,n,m}}{2} \pm \frac{1}{2} \sqrt{(a_{1,n,m} - a_{2,n,m})^2 + 4 \cdot \rho_1^0 \rho_3^0} -$$

корені рівняння

$$p^2 + (a_{1,n,m} + a_{2,n,m})p + (a_{1,n,m} a_{2,n,m} - \rho_1^0 \rho_3^0) = 0. \quad (18)$$

Отже, розв'язок задачі Коші (6)-(8) має вигляд

$$T_{1_{n,m}}(t) = K_{11_{n,m}}(t) \cdot T_{10_{n,m}} + K_{12_{n,m}}(t) \cdot T_{20_{n,m}} + \frac{1}{b_2} \int_0^t K_{12_{n,m}}(t-\tau) \cdot F_{2_{n,m}}(\tau) dt; \quad (19)$$

$$T_{2_{n,m}}(t) = K_{21_{n,m}}(t) \cdot T_{10_{n,m}} + K_{22_{n,m}}(t) \cdot T_{20_{n,m}} + \frac{1}{b_2} \int_0^t K_{22_{n,m}}(t-\tau) \cdot F_{2_{n,m}}(\tau) dt. \quad (20)$$

Перейшовши у формулах (19), (20) до оригіналу за змінними x та y з урахуванням того, що $T_{10} = const, T_{20} = const$, отримаємо єдиний обмежений розв'язок вихідної задачі

$$T_i(t, x, y) = T_{i0} \cdot \int_0^l \int_0^l H_{i1}(t, x, \xi; y, \eta) d\xi d\eta + T_{20} \cdot \int_0^l \int_0^l H_{i2}(t, x, \xi; y, \eta) d\xi d\eta + \frac{1}{b_2} \int_0^t \int_0^l \int_0^l H_{i2}(t-\tau, x, \xi; y, \eta) d\xi d\eta \cdot F_2(\tau, \xi, \eta) d\xi d\eta d\tau, i = \overline{1,2}. \quad (21)$$

де компоненти матриці впливу $[H_{ij}(t, x, y)]_{i,j=1,2}$ мають вигляд

$$\begin{aligned} H_{11}(t, x, \xi; y, \eta) &= \frac{1}{l_1 l_2} \sum_{n,m=0}^{\infty} \varepsilon_{1_n} \varepsilon_{2_m} \left(\frac{p_1 - a_{2_{n,m}} e^{p_1 t}}{p_1 - p_2} - \frac{p_2 - a_{2_{n,m}} e^{p_2 t}}{p_1 - p_2} \right) \cos \frac{n\pi x}{l_1} \cos \frac{n\pi \xi}{l_1} \cos \frac{m\pi \eta}{l_2} \cos \frac{m\pi y}{l_2}, \\ H_{12}(t, x, \xi; y, \eta) &= -\frac{1}{l_1 l_2} \frac{\mathcal{P}_1^0}{p_1 - p_2} \sum_{n,m=0}^{\infty} \varepsilon_{1_n} \varepsilon_{2_m} e^{p_1 t} (1 - e^{-(p_1 - p_2)t}) \cos \frac{n\pi x}{l_1} \cos \frac{n\pi \xi}{l_1} \cos \frac{m\pi \eta}{l_2} \cos \frac{m\pi y}{l_2}, \\ H_{21}(t, x, \xi; y, \eta) &= -\frac{1}{l_1 l_2} \frac{\mathcal{P}_3^0}{p_1 - p_2} \sum_{n,m=0}^{\infty} \varepsilon_{1_n} \varepsilon_{2_m} e^{p_1 t} (1 - e^{-(p_1 - p_2)t}) \cos \frac{n\pi x}{l_1} \cos \frac{n\pi \xi}{l_1} \cos \frac{m\pi \eta}{l_2} \cos \frac{m\pi y}{l_2}, \\ H_{22}(t, x, \xi; y, \eta) &= \frac{1}{l_1 l_2} \sum_{n,m=0}^{\infty} \varepsilon_{1_n} \varepsilon_{2_m} \left(\frac{p_1 - a_{1_{n,m}} e^{p_1 t}}{p_1 - p_2} - \frac{p_2 - a_{1_{n,m}} e^{p_2 t}}{p_1 - p_2} \right) \cos \frac{n\pi x}{l_1} \cos \frac{n\pi \xi}{l_1} \cos \frac{m\pi \eta}{l_2} \cos \frac{m\pi y}{l_2}. \end{aligned} \quad (22)$$

Виконавши необхідні перетворення, розв'язок (21) нестационарної задачі (1) запишемо у вигляді

$$T_1(t, x, y) = \sum_{n,m=0}^{\infty} \varepsilon_{1_n} \varepsilon_{2_m} \left[T_{10} \left(\frac{p_1 - a_{2_{n,m}} e^{p_1 t}}{p_1 - p_2} - \frac{p_2 - a_{2_{n,m}} e^{p_2 t}}{p_1 - p_2} \right) - T_{20} \frac{\mathcal{P}_1^0}{p_1 - p_2} e^{p_1 t} (1 - e^{-(p_1 - p_2)t}) + \frac{\theta_0}{b_2} \frac{\mathcal{P}_1^0}{p_1 - p_2} \left(\frac{1}{p_1} (1 - e^{p_1 t}) - \frac{1}{p_2} (1 - e^{p_2 t}) \right) \right] \times \quad (23)$$

$$\times \left(1 + \frac{1}{l_1 l_2} \prod_{i=1}^2 \left[\frac{\sin(\beta_{i_n} + \nu_i) l_i}{\beta_{i_n} + \nu_i} + \frac{\sin(\beta_{i_n} - \nu_i) l_i}{\beta_{i_n} - \nu_i} \right] \right) \cos \frac{n\pi x}{l_1} \cos \frac{m\pi y}{l_2};$$

$$T_2(t, x, y) = \sum_{n,m=0}^{\infty} \varepsilon_{1_n} \varepsilon_{2_m} \left[-T_{10} \frac{\mathcal{P}_3^0}{p_1 - p_2} e^{p_1 t} (1 - e^{-(p_1 - p_2)t}) + T_{20} \left(\frac{p_1 - a_{1_{n,m}} e^{p_1 t}}{p_1 - p_2} - \frac{p_2 - a_{1_{n,m}} e^{p_2 t}}{p_1 - p_2} \right) + \frac{1}{b_2 (p_1 - p_2)} \left(\frac{p_1 - a_{2_{n,m}} (e^{p_1 t} - 1)}{p_1} - \frac{p_2 - a_{2_{n,m}} (e^{p_2 t} - 1)}{p_2} \right) \right] \times \quad (24)$$

$$\times \left(\theta_0 + \frac{1}{l_1 l_2} \prod_{i=1}^2 \left[\frac{\sin(\beta_{i_n} + \nu_i) l_i}{\beta_{i_n} + \nu_i} + \frac{\sin(\beta_{i_n} - \nu_i) l_i}{\beta_{i_n} - \nu_i} \right] \right) \cos \frac{n\pi x}{l_1} \cos \frac{m\pi y}{l_2}$$

Числове моделювання й аналіз. Метою числового багатofакторного моделювання є отримання і подальший аналіз нестационарних температурних полів (своєрідних

температурних листів) для нагрівальної плити і заготовки з точки зору забезпечення більшої рівномірності нагрівання за різними напрямками для різних значень безрозмірної геометричної координати y при різних перерізах осі x : 0,2; 0,5; 0,9. При цьому також враховували зміни частотних характеристик нагрівання ν_1, ν_2 . Товщини заготовки і плити брали відповідно рівними – $\delta_1 = 0,01$; $\delta_2 = 0,02$. Значення частотних характеристик нагрівання $\nu_1 = 10$; $\nu_2 = 10$.

На рис. 2 зображено просторово розподілені температурні поля (листи) заготовки $T_1(t, x, y)$ та нагрівальної плити $T_2(t, x, y)$ уздовж координати y , в зрізі по осі x ($x = 0,2$) протягом часу t (в сек.). Як бачимо з рис.2, для перерізу, який розглядаємо, значна температурна нерівномірність для температури в плиті T_2 (близько 60%) та для температури в заготовці T_1 (близько 35-40%) уздовж координати y . Максимальні значення (амплітуди) температур T_2 і T_1 у цьому перерізі сягають відповідно 250°C та 120°C .

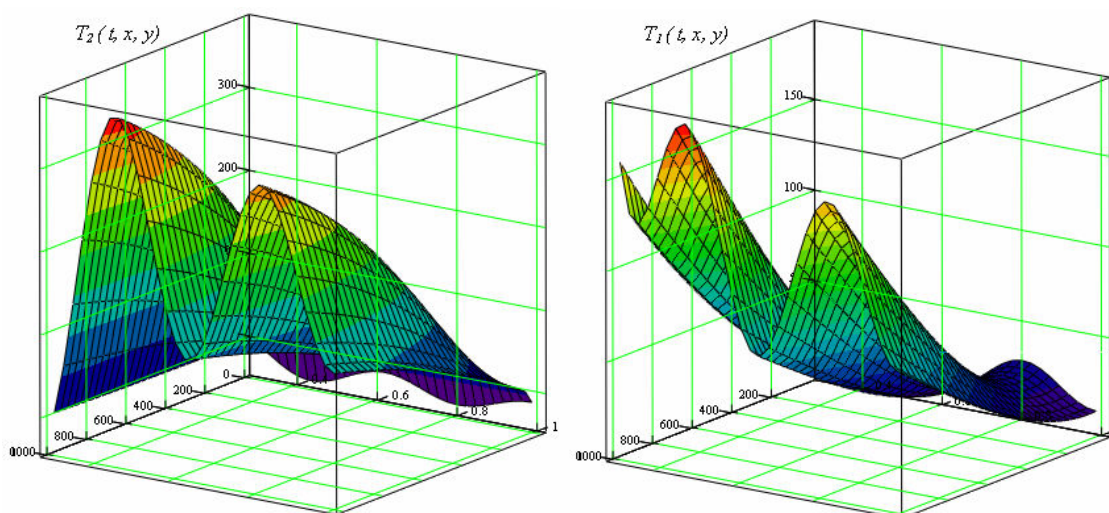


Рис. 2. Розподіл температур $T_1(t, x, y)$, $T_2(t, x, y)$ уздовж координати y , в зрізі по осі x ($x=0,2$) протягом часу t

Для перерізів $x=0,5$ (рис. 3) та $x=0,9$ (рис. 4) температурна нерівномірність, яку розглядаємо, є нижчою і складає відповідно: для температури в плиті T_2 (близько 30%) та для температури в заготовці T_1 (близько 20-25%) в перерізі $x=0,5$ та для T_2 (близько 20%) і для T_1 (близько 15%) в перерізі $x=0,9$.

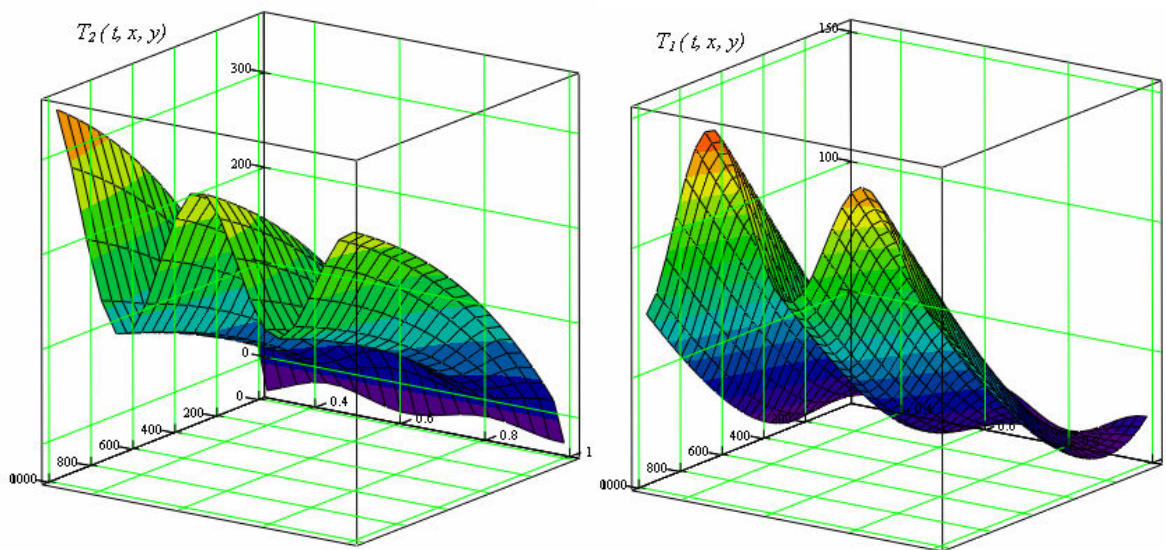


Рис. 3. Розподіл температур $T_1(t, x, y)$, $T_2(t, x, y)$ уздовж координати y , в зрізі по осі $x(x=0,5)$ протягом часу t

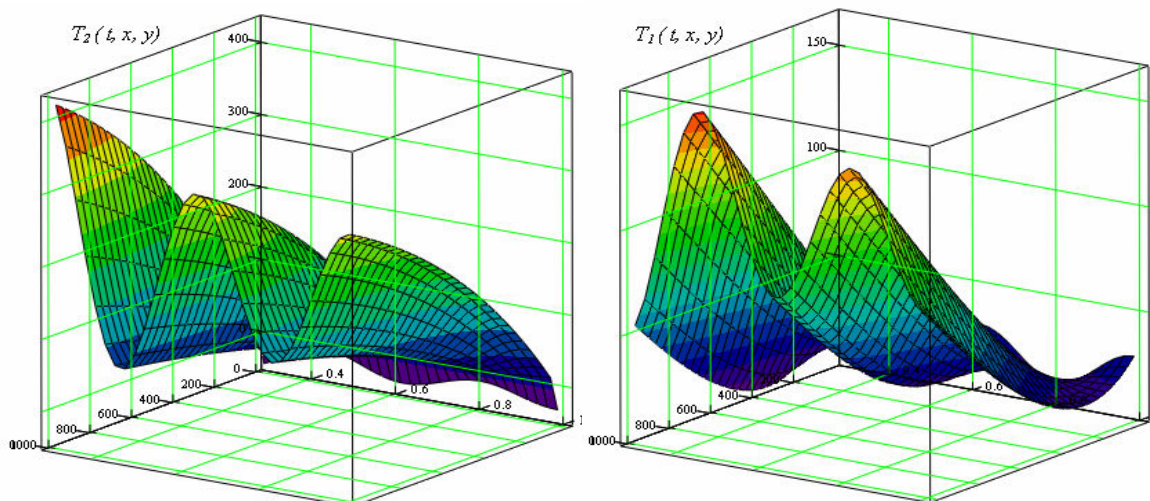


Рис. 4. Розподіл температур $T_1(t, x, y)$, $T_2(t, x, y)$ уздовж координати y , в зрізі по осі $x(x=0,9)$ протягом часу t

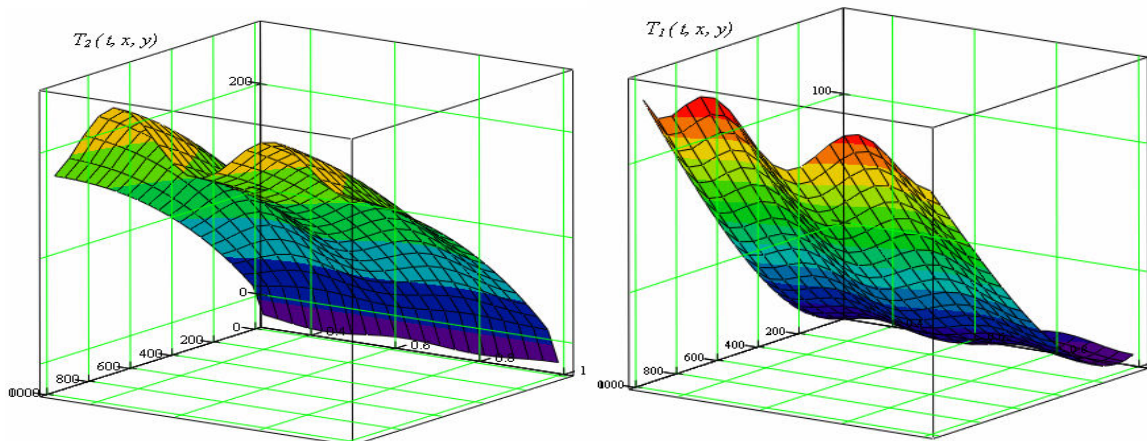


Рис. 5. Розподіл температур $T_1(t, x, y)$, $T_2(t, x, y)$ уздовж координати y , в зрізі по осі $x(x=0,2)$ протягом часу t

На рис. 5 та 6 зображено ті ж самі просторово розподілені температурні поля (листи) заготовки $T_1(t, x, y)$ та нагрівальної плити $T_2(t, x, y)$ уздовж координати y для тих же перерізів по осі x від часу t , але при іншому значенні частотної характеристики нагрівання $\nu_2 = 20$. Для усіх трьох розглянутих випадків спостерігаємо значно рівномірніші температурні листи, що забезпечує в кінцевому результаті рівномірніші режими нагрівання. Для перерізу $x=0,2$ (рис.5) ступінь температурної нерівномірності складає не більше 20% – для температури в плиті T_2 та не більше 15% для температури в заготовці T_1 уздовж координати y .

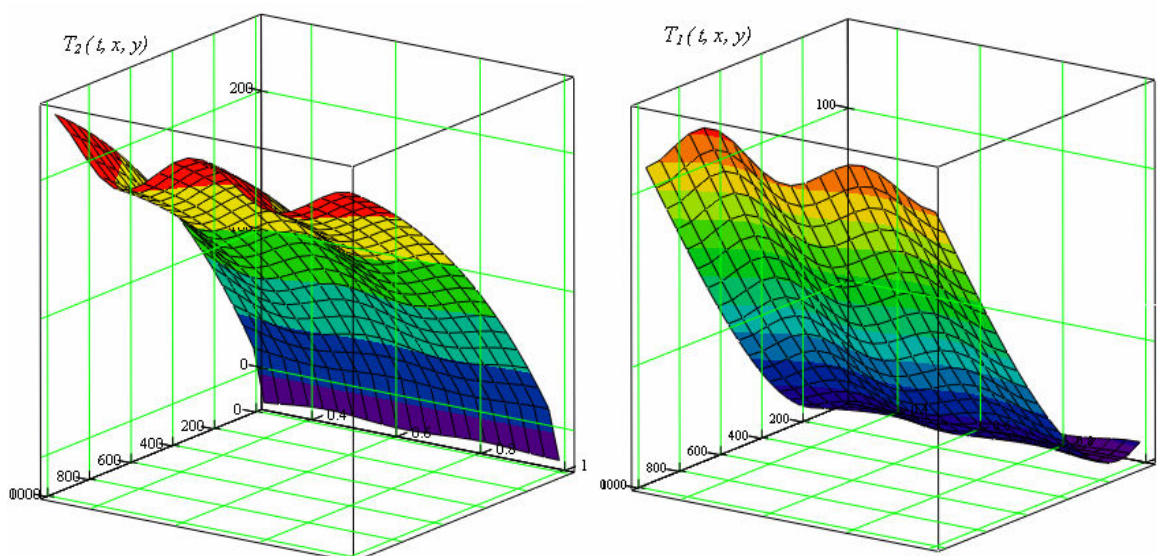


Рис.6. Розподіл температур $T_1(t, x, y)$, $T_2(t, x, y)$ уздовж координати y , в зрізі по осі $x(x=0,5)$ протягом часу t

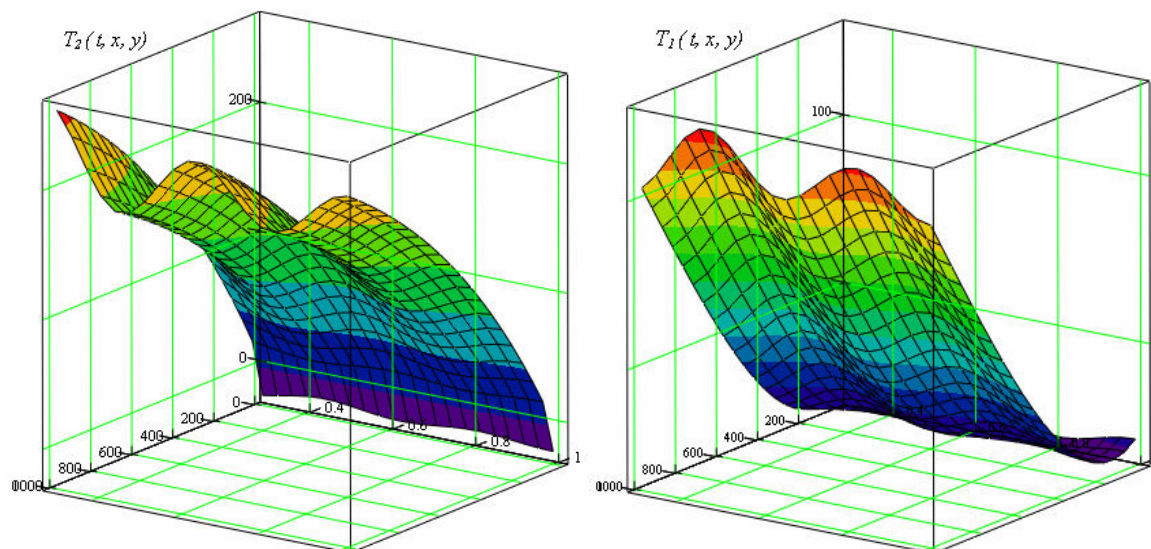


Рис.7. Розподіл температур $T_1(t, x, y)$, $T_2(t, x, y)$ уздовж координати y , в зрізі по осі $x(x=0,9)$ протягом часу t

Відповідно для перерізів $x=0,5$ (рис. 6) та $x=0,9$ (рис. 7) розглянуті показники температурної нерівномірності є нижчими і складають: для температури в плиті T_2 не більше 10-15% та для температури в заготовці T_1 не більше 5-10 %.

Висновок. Числовий аналіз дає змогу здійснити обґрунтування рівномірніших режимів нагрівання та теплопередавання, що в цілому суттєво вплине на енерго- та ресурсозберігаючі показники теплоенергетичних і теплонагрівальних установок.

Література

1. Коляно Ю.М. Методы теплопроводности и термоупругости неоднородного тела / Ю.М. Коляно. – К.: Наук. думка, 1992. – 280 с.
2. Ленюк М.П. Температурні поля в плоских кусково-однорідних ортотропних областях / М.П. Ленюк. – К.: Ін-т математики НАН України, 1997. – 188 с.
3. Подстригач Я.С. Неустановившиеся температурные поля и напряжения в тонких пластинках / Я.С. Подстригач, Ю.М. Коляно. – К.: Наук. думка, 1972. – 308 с.
4. Подстригач Я.С. Термоупругость тел неоднородной структуры / Я.С. Подстригач, В.А. Ломакин, Ю.М. Коляно. – М.: Наука, 1984. – 368 с.
5. Сергиенко И.В. Математическое моделирование и исследование процессов в неоднородных средах / И.В. Сергиенко, В.В. Скопецкий, В.С. Дейнека. – К.: Наук. думка, 1991. – 432 с.
6. Шилин Г.Ф. Инженерные алгоритмы решения стационарных задач теплопроводности в составных телах / Г.Ф. Шилин. – Иркутск: Изд-во ИГУ, 1983. – 115 с.
7. Громик А.П. Нестационарна задача теплопровідності в ізотропній прямокутній пластинці / А.П. Громик, І.М. Конет // Задачі со свободними границями и нелокальные задачи для нелинейных параболических уравнений: сб. науч. тр. / НАН Украины. Ин-т математики. – К., 1996. – С. 23 – 26.
8. Курош А.Г. Курс высшей алгебры / А.Г. Курош. – М.: Наука, 1971. – 432 с.